

GRADO EN ODONTOLOGÍA 2013-2018

ANEXOS ENFOQUE Y ABORDAJE PARA  
EL TRATAMIENTO DE LA FUNCIÓN Y  
ESTÉTICA ORAL EN PACIENTE  
PEDIÁTRICO Y ADULTO: A PROPOSITO  
DE DOS CASOS.

AUTOR DEL TRABAJO DE FIN DE GRADO EN ODONTOLOGÍA:

MARIA LUISA HERRERA CABRERA

TUTOR DEL TRABAJO DE FIN DE GRADO EN ODONTOLOGÍA:

ALEJANDRO DE LA PARTE SERNA



**Universidad**  
Zaragoza

## ANEXOS CASO 1

### ANEXO 1: FOTOGRAFÍAS EXTRAORALES (IMÁGENES 1-14)



**Imagen 1:** Fotografía extraoral vista frontal en reposo.



**Imagen 2:** Fotografía extraoral vista frontal en sonrisa.



**Imágenes 3 y 4:** Fotografía extraoral vista lateral en reposo.



**Imágenes 5 y 6:** Fotografía extraoral vista lateral en sonrisa.



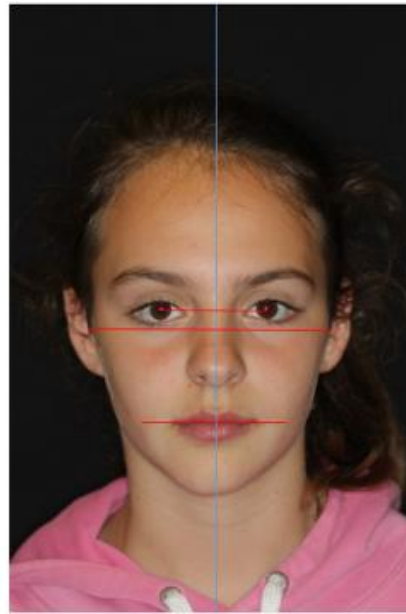
**Imágenes 7 y 8:** Fotografía extraoral vista en  $\frac{3}{4}$  en reposo.



**Imágenes 9 y 10:** Fotografía extraoral vista en  $\frac{3}{4}$  en reposo.



**Imagen 11:** Fotografía extraoral frontal para el análisis de las simetrías faciales. El mentón está desviado hacia la derecha.



**Imagen 12:** Fotografía extraoral lateral para valoración del perfil facial, contornos labiales y ángulos nasolabial y mentolabial.



**Imagen 13:** Fotografía intraoral de las arcadas en oclusión desde una vista lateral izquierda. A nivel sagital presenta una clase II molar de Angle. A nivel vertical presenta sobremordida.



**Imagen 14:** Fotografía extraoral lateral para valoración de la posición de los labios respecto al plano estético.

## **ANEXO 2: FOTOGRAFÍAS EXTRAORALES (IMÁGENES 15-20)**



**Imagen 15:** Fotografía intraoral de las arcadas en oclusión. Se observa que las líneas medias no coinciden y la existencia de diastemas.



**Imagen 16:** Fotografía intraoral de las arcadas en oclusión desde una vista lateral izquierda. A nivel sagital presenta una clase II molar de Angle. A nivel vertical presenta sobremordida.



**Imagen 17:** Fotografía intraoral de las arcadas en oclusión desde una vista lateral derecha. A nivel sagital presenta una clase II molar y clase I canina de Angle. A nivel vertical presenta sobremordida.



**Imagen 18:** Fotografía intraoral de la arcada superior. Se observa asimetría y no existe rotación de los primeros molares superiores.



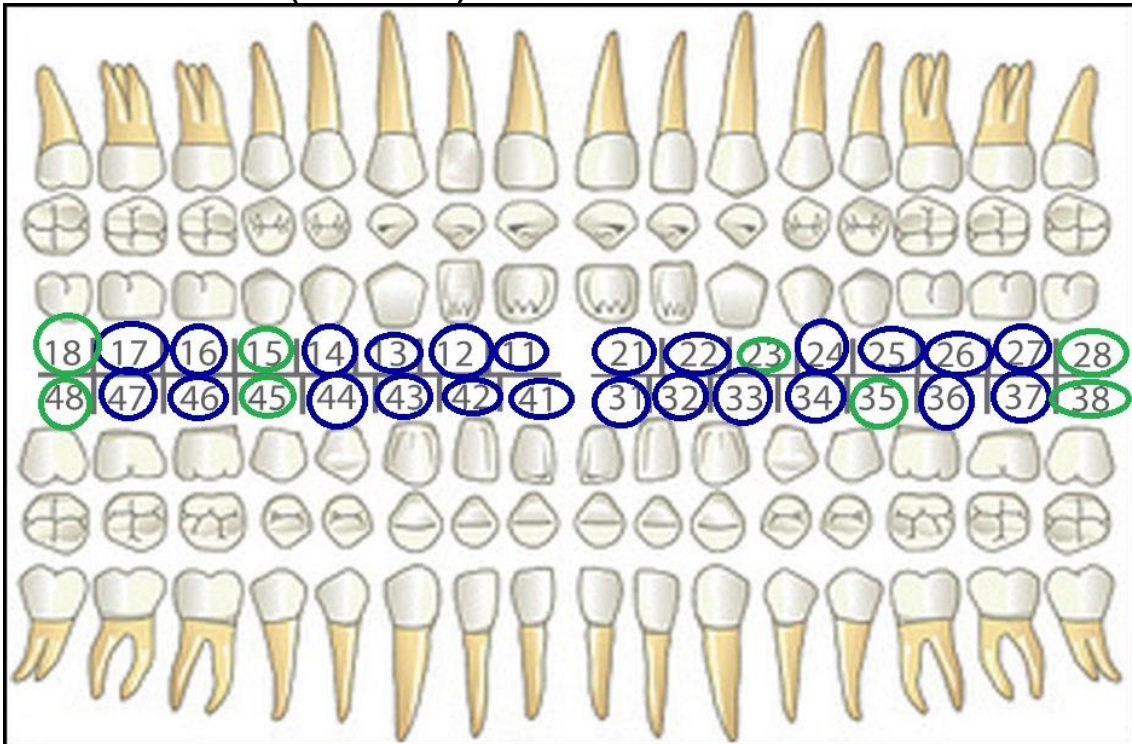
**Imagen 19:** Fotografía intraoral de la arcada inferior. Se observa simetría y la línea media dental se encuentra desviada hacia la izquierda.



**Imagen 20:** Fotografía intraoral de las arcadas en oclusión en anterior. Se observa resalte de 1.3mm.

**ANEXO 3: PRUEBAS COMPLEMENTARIAS (IMÁGENES 21-31, TABLAS 1 Y 2)**

**A. ODONTOGRAMA (IMAGEN 21)**

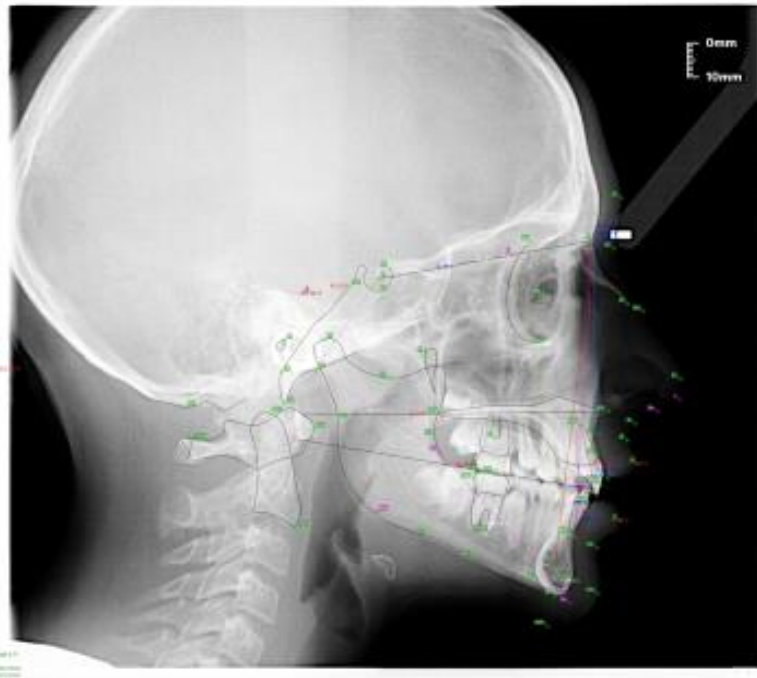


**Imagen 21:** Odontograma. Se observan los dientes presentes en boca en azul y los próximos a erupcionar en verde.

**B. RADIOGRÁFICAS (IMÁGENES 22-25, TABLAS 1-3)**



**Imagen 22:** Ortopantomografía. Se observan los dientes presentes en las arcadas definitivos y temporales, y el estado de los dientes próximos a erupcionar. Se observa la como el canino permanente se encuentra incluido y ha perdido la guía de erupción.

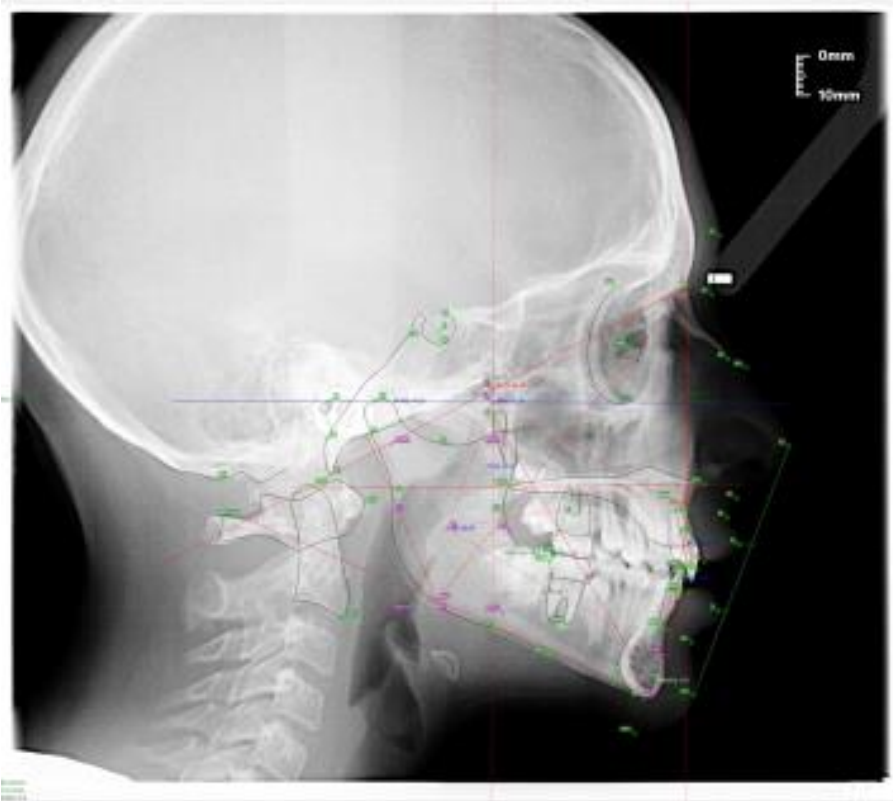


**Imagen 23:** Radiografía lateral del cráneo. Análisis cefalométrico de Steiner. Paciente hiperdivergente con clase I esquelética con retrusión maxilar y mandibular.



PARÁMETRO		NORMA	CASO	INTERPRETACIÓN
SNA		$82^{\circ} \pm 2^{\circ}$	$79,80^{\circ}$	Maxilar superior retruido
SNB		$80^{\circ} \pm 2^{\circ}$	$76,09^{\circ}$	Mandíbula retruida
SND		$76^{\circ} \pm 2^{\circ}$	$73,09^{\circ}$	Hueso basal mandibular retruido
ANB		$2^{\circ} \pm 2^{\circ}$	$3,71^{\circ}$	Clase I esquelética
PLANO OCLUSAL		$14^{\circ} \pm 3^{\circ}$	$19,85^{\circ}$	posterorrotación del plano oclusal
PLANO MANDIBULAR		$32^{\circ} \pm 5^{\circ}$	$58,69^{\circ}$	Hiperdivergente
SE		22mm	22,65 mm	Cóndilo normoposicionado
SL		51 mm	40,21 mm	Retrusión cuerpo mandibular
Holdaway		$1:1 \pm 2$ mm	$3,43 : 4,2 = 0,77$ mm	Aceptable
Incisivo Superior	Posición	$4 \pm 1$ mm	2,26 mm	Incisivos superiores retruidos
	Inclinación	$22^{\circ} \pm 2^{\circ}$	$12,61^{\circ}$	Incisivos superiores retroinclinados
Incisivo Inferior	Posición	$4 \pm 1$ mm	3,43 mm	Incisivos inferiores normoposicionados
	Inclinación	$25^{\circ} \pm 2^{\circ}$	$15,75^{\circ}$	Incisivos inferiores retroinclinados
Ángulo interincisal		$131^{\circ} \pm 4^{\circ}$	$147,93^{\circ}$	Lingualización incisivos
Plano Estético	Superior	0 mm	0,6 mm	normoquelia
	Inferior	0 mm	0,8 mm	normoquelia

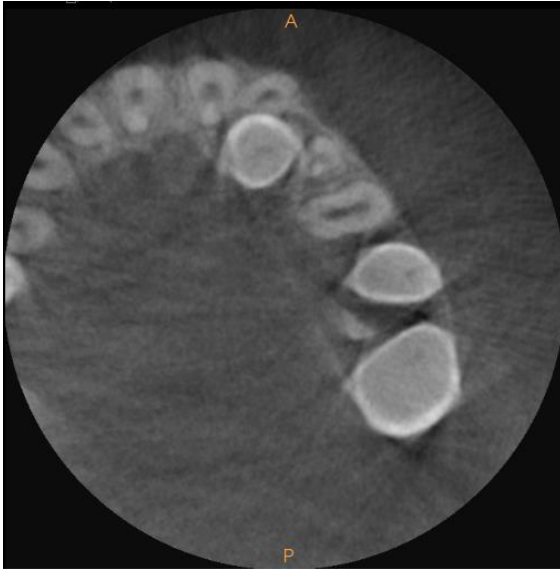
**Tabla 1:** Tabla de resultados Cefalometría Steiner.



**Imagen 24:** Radiografía lateral del cráneo. Análisis cefalométrico de Ricketts. Paciente mesofacial.

		PARÁMETRO	NORMA	C.B.	VALOR	INTERPRETACIÓN
ANÁLISIS ESQUELÉTICO	Mandíbula	Profundidad facial	$87^{\circ} \pm 3^{\circ}$	$88^{\circ} \pm 3^{\circ}$	$86,69^{\circ}$	Mesognático
	Maxilar	Convexidad facial	$2 \pm 2$ mm	$1,4 \pm 2$ mm	3,62 mm	Clase II esquelética
	Dirección crecimiento	Eje facial	$90 \pm 3$	cte	$92,13^{\circ}$	Mesofacial
		Ángulo del plano mandibular	$26 \pm 4$	$25^{\circ} \pm 4^{\circ}$	$66^{\circ}$	Crecimiento vertical
		Altura facial inferior	$47 \pm 4$	cte	$39,88^{\circ}$	Braquifacial
		Arco mandibular	$26 \pm 4$	$27,5^{\circ} \pm 4^{\circ}$	$31^{\circ}$	mesofacial
ANÁLISIS DENTARIO	Incisivos	Posición incisivo inferior	$1 \pm 2$	cte	1,38 mm	Incisivo inferior normoposicionado
		Inclinación incisivo inferior	$22 \pm 4$	cte	$11,06^{\circ}$	Incisivo inferior retroinclinado
	Molares	Posición del molar superior	Edad +3	15 mm	16,38 mm	Molar superior normoposicionado
ANÁLISIS ESTÉTICO	Labio inferior	Posición labio inferior	$-2 \pm 2$	$\pm 2$	-1,68mm	Posición normal del labio inferior

**Tabla 2:** Tabla de resultados de la Cefalometría de Ricketts.



**Imagen 25:** CBCT. Se observa la posición palatina del canino incluido.

### C. MODELOS DE ESTUDIO (IMÁGENES 26-31)



**Imagen 26:** Fotografía de los modelos de estudio en oclusión vista frontal. Se observa sobremordida y vestibulorotación del 2.2.



**Imagen 27:** Fotografía de los modelos de estudio en oclusión vista lateral derecha. Se observa sobremordida, clase II canina y clase II molar.



**Imagen 28:** Fotografía de los modelos de estudio en oclusión vista lateral izquierda. Se observa vestibulorotación, clase II molar.



**Imagen 29:** Fotografía de los modelos de estudio vista superior para el resalte. Se observa sobremordida y vestibulorotación del 2.2.



**Imagen 30:** Fotografía de los modelos de estudio en oclusión para observar el resalte vista lateral derecha.



**Imagen 31:** Fotografía de los modelos de estudio en oclusión para observar el resalte vista lateral izquierda.

## ANEXOS CASO 2

### ANEXO 1: FOTOGRAFÍAS EXTRAORALES (IMÁGENES 1-14)



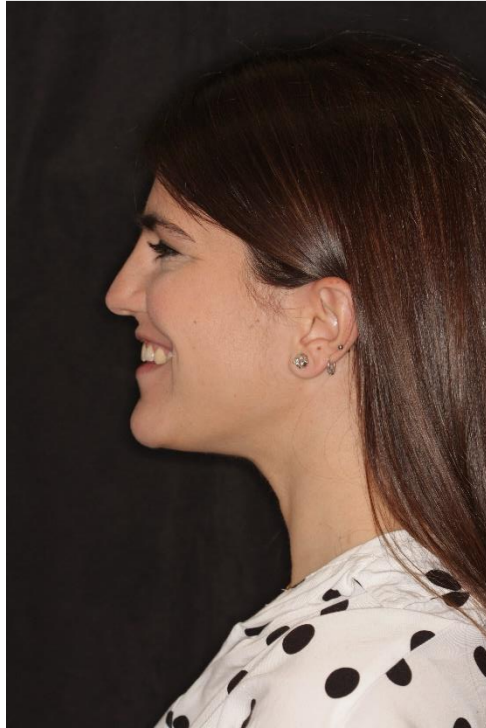
**Imagen 1:** Fotografía extraoral vista frontal en reposo.



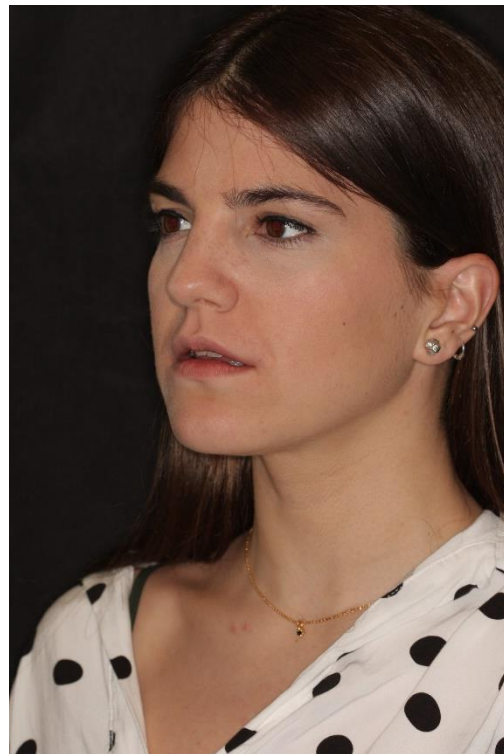
**Imagen 2:** Fotografía extraoral vista frontal en sonrisa.



**Imágenes 3 y 4:** Fotografías extraorales vista lateral en reposo.



**Imágenes 5 y 6:** Fotografías extraorales vista lateral en sonrisa.



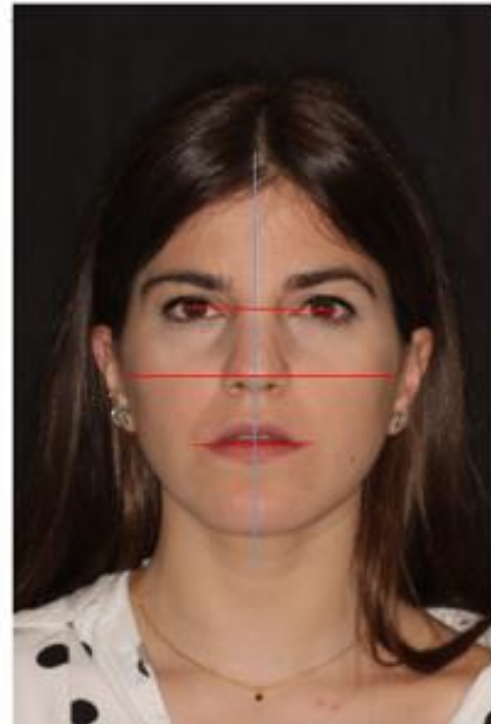
**Imágenes 7 y 8:** Fotografías extraorales vista en 3/4 en reposo.



**Imágenes 9 y 10:** Fotografías extraorales vista en 3/4 en sonrisa.



**Imagen 11:** Fotografía extraoral frontal para el análisis de los tercios y los quintos faciales. El tercio inferior está aumentado.

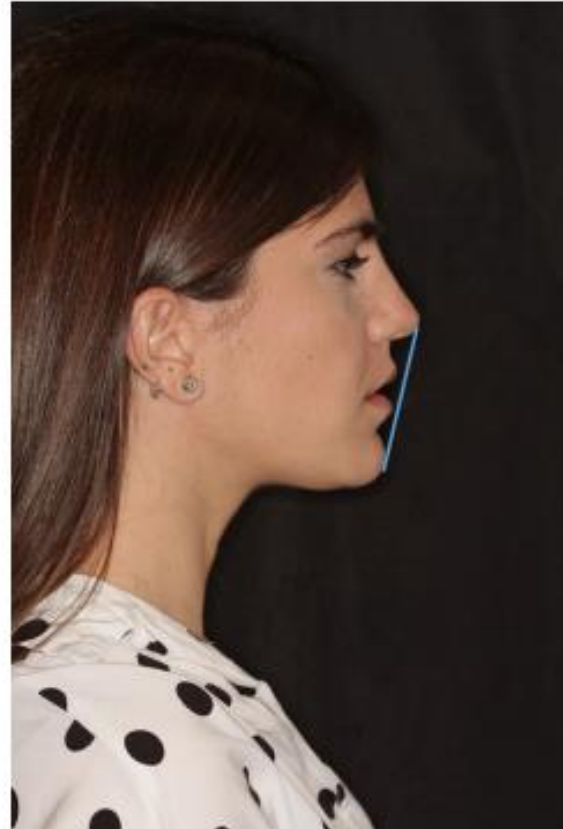


**Imagen 12:** Fotografía extraoral frontal para el análisis de las simetrías faciales. Paciente simétrico respecto a la línea bipupilar.





**Imagen 13:** Fotografía extraoral lateral para valoración del perfil facial, contornos labiales y ángulos nasolabial y mentolabial.



**Imagen 14:** Fotografía extraoral lateral para valoración de la posición de los labios respecto al plano estético. Paciente con biretroquelia.

## **ANEXO 2: FOTOGRAFÍAS INTRAORALES (IMÁGENES 15-21)**



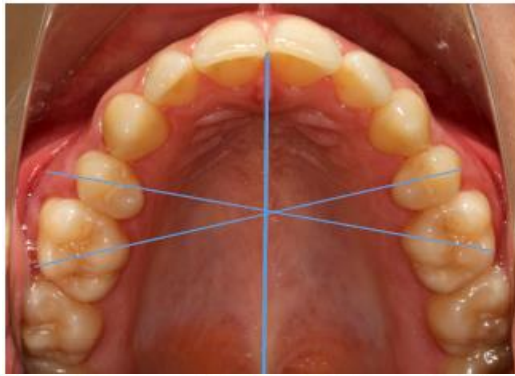
**Imagen 15:** Fotografía intraoral de las arcadas en oclusión. Se observa que la línea media superior se encuentra desviada hacia la izquierda y la ausencia de contacto de los dientes anteriores, además de mordida cruzada unidentaria en el canino superior izquierdo.



**Imagen 16:** Fotografía intraoral de las arcadas en oclusión desde una vista lateral derecha. A nivel sagital presenta una clase II molar incompleta y clase I canina de Angle. A nivel vertical presenta mordida abierta.



**Imagen 17:** Fotografía intraoral de las arcadas en oclusión desde una vista lateral izquierda. A nivel sagital presenta una clase II molar y clase III canina de Angle. A nivel vertical presenta mordida abierta.



**Imagen 18:** Fotografía intraoral de la arcada superior. Se observa simetría y existe rotación de los primeros molares superiores mesiopalatina.



**Imagen 19:** Fotografía intraoral de la arcada inferior. Se observa simetría.



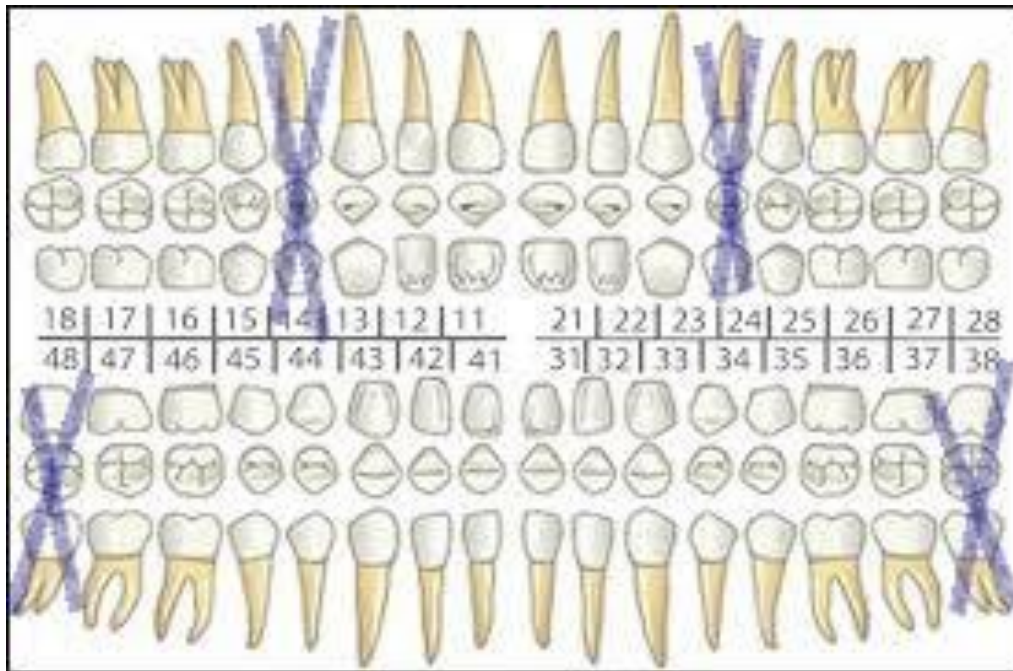
**Imagen 20:** Fotografía intraoral de las arcadas en oclusión. Se observa resalte de 2mm



**Imagen 21:** Fotografía extraoral de la arcada superior. Se observa el tamaño de los dientes anteriores.

## ANEXO 3: PRUEBAS COMPLEMENTARIAS (IMÁGENES 22-36)

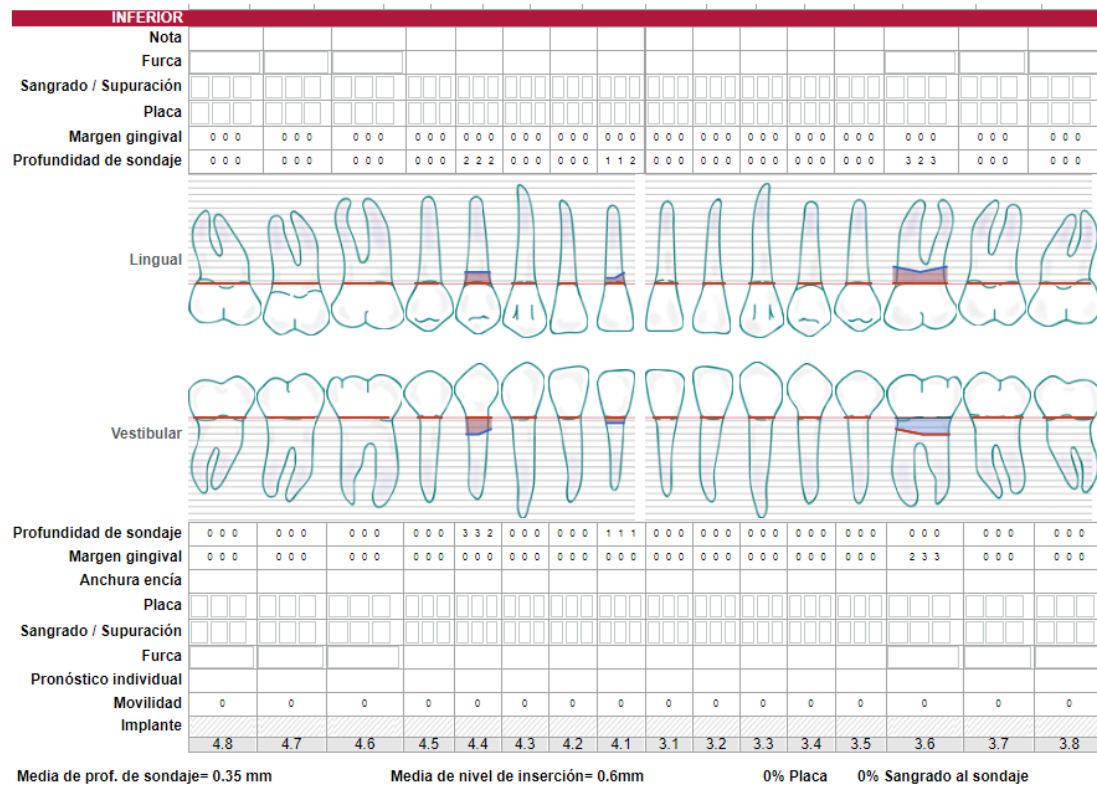
### A. ODONTOGRAMA (IMAGEN 22)



**Imagen 22:** Odontograma. Se observan los dientes presentes y la ausencia de los primeros premolares superiores y de los terceros molares inferiores.

### B. PERIODONTOGRAMA (IMAGEN 23)

SUPERIOR		1.8	1.7	1.6	1.5	1.4	1.3	1.2	1.1	2.1	2.2	2.3	2.4	2.5	2.6	2.7	2.8
Implante																	
Movilidad		0	0	0	0	0	0	0	0	0	0	0	0	0	0	0	0
Pronóstico individual																	
Furca																	
Sangrado / Supuración																	
Placa																	
Anchura encía																	
Margen gingival		0 0 0	0 0 0	2 2 2	0 0 0	0 0 0	0 0 0	0 0 0	0 0 0	1 1 2	0 0 0	0 0 0	2 1 3	0 0 0	0 0 0	0 0 0	0 0 0
Profundidad de sondaje		0 0 0	0 0 0	0 0 0	0 0 0	0 0 0	0 0 0	0 0 0	0 0 0	0 0 0	0 0 0	0 0 0	0 0 0	0 0 0	0 0 0	0 0 0	0 0 0
Vestibular																	
Palatino																	
Profundidad de sondaje		0 0 0	0 0 0	0 0 0	0 0 0	0 0 0	0 0 0	0 0 0	0 0 0	0 0 0	0 0 0	0 0 0	2 1 2	0 0 0	0 0 0	0 0 0	0 0 0
Margen gingival		0 0 0	0 0 0	0 0 0	0 0 0	0 0 0	0 0 0	0 0 0	0 0 0	0 0 0	0 0 0	0 0 0	0 0 0	0 0 0	0 0 0	0 0 0	0 0 0
Placa																	
Sangrado / Supuración																	
Furca																	
Nota																	

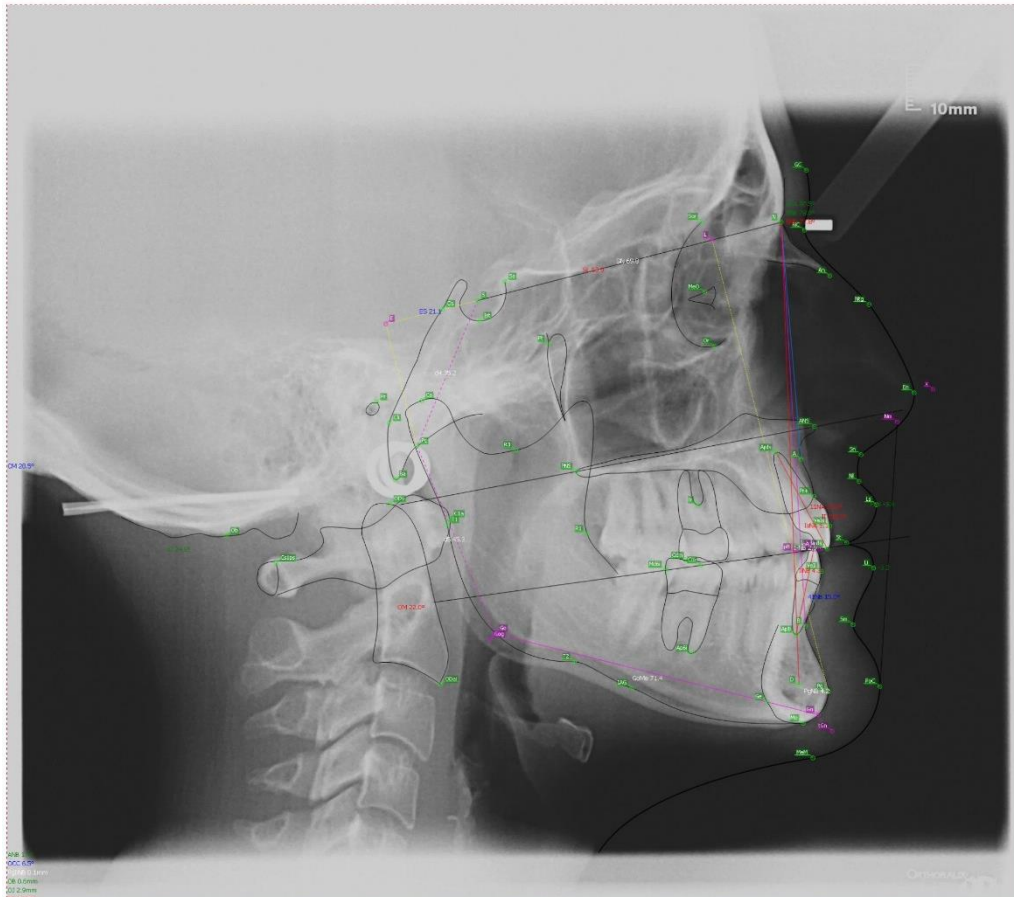


**Imagen 23:** Periodontograma. Se realiza sondaje de Ramfjord y se obtiene de media de PS: 0.35 mm.

### C. RADIOGRÁFICAS (IMÁGENES 24-26, TABLAS 1 y 2)



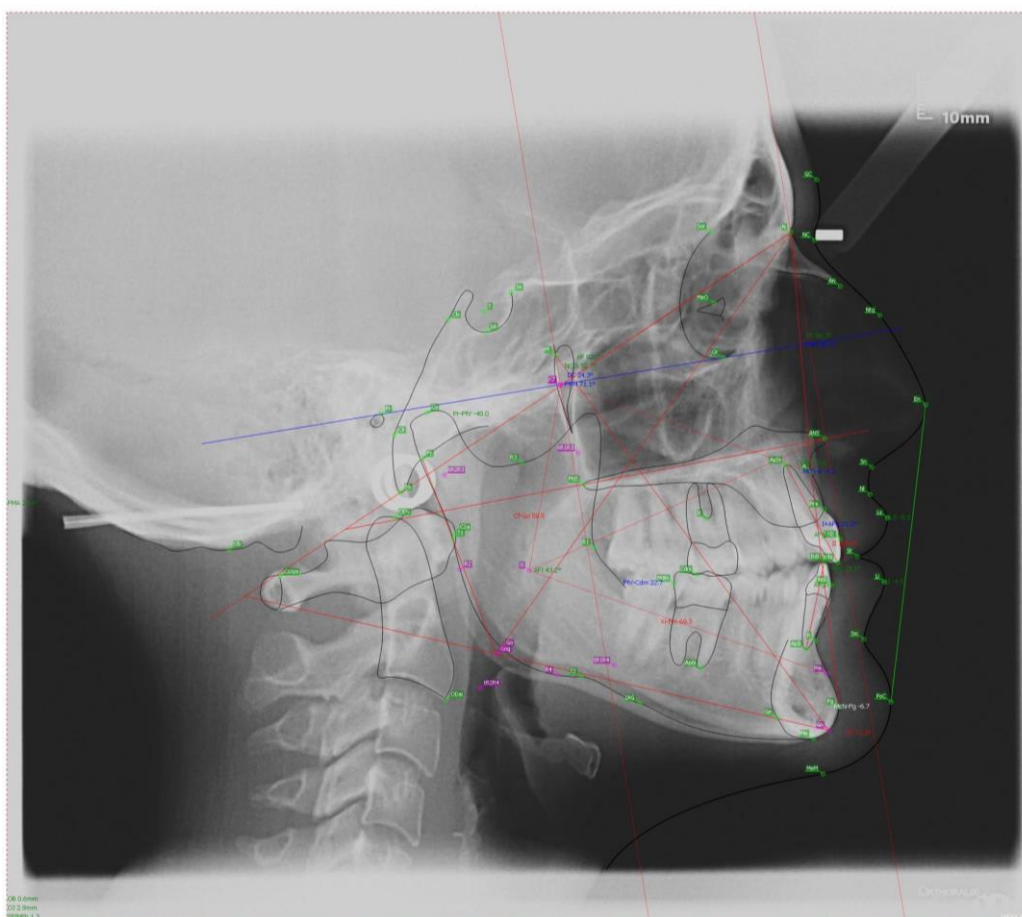
**Imagen 24:** Ortopantomografía. Se observan los dientes presentes y la ausencia de los primeros premolares superiores y de los terceros molares.



**Imagen 25:** Radiografía lateral del cráneo. Análisis cefalométrico de Steinner.

PARÁMETRO		NORMA	CASO	INTERPRETACIÓN
SNA		$82^{\circ} \pm 2^{\circ}$	$80,45^{\circ}$	Maxilar superior normoposicionado
SNB		$80^{\circ} \pm 2^{\circ}$	$79,04^{\circ}$	Mandíbula normoposicionada
SND		$76^{\circ} \pm 2^{\circ}$	$77,81^{\circ}$	Hueso basal mandibular normoposicionado
ANB		$2^{\circ} \pm 2^{\circ}$	$1,41^{\circ}$	Clase I esquelética
PLANO OCLUSAL		$14^{\circ} \pm 3^{\circ}$	$6,51^{\circ}$	Anterorrotación del plano oclusal
PLANO MANDIBULAR		$32^{\circ} \pm 5^{\circ}$	$28,55^{\circ}$	Hipodivergente
SE		22mm	21,12 mm	Cóndilo normoposicionado
SL		51 mm	53, 89 mm	Protrusión cuerpo mandibular
Holdaway		$1:1 \pm 2$ mm	$4,27:6=1,73$ mm	Aceptable
Incisivo Superior	Posición	$4 \pm 1$ mm	5,10 mm	Incisivos superiores protruidos
	Inclinación	$22^{\circ} \pm 2^{\circ}$	$22,97^{\circ}$	Incisivos superiores normoinclinados
Incisivo Inferior	Posición	$4 \pm 1$ mm	4,27 mm	Incisivos inferiores normoposicionados
	Inclinación	$25^{\circ} \pm 2^{\circ}$	$15,01^{\circ}$	Incisivos inferiores retroinclinados
Ángulo interincisal		$131^{\circ} \pm 4^{\circ}$	$140,61^{\circ}$	Lingualización incisivos
Plano Estético	Superior	0 mm	3,4 mm	Proquelia
	Inferior	0 mm	3,2 mm	Proquelia

**Tabla 1:** Tabla de resultados Cefalometría Steiner.



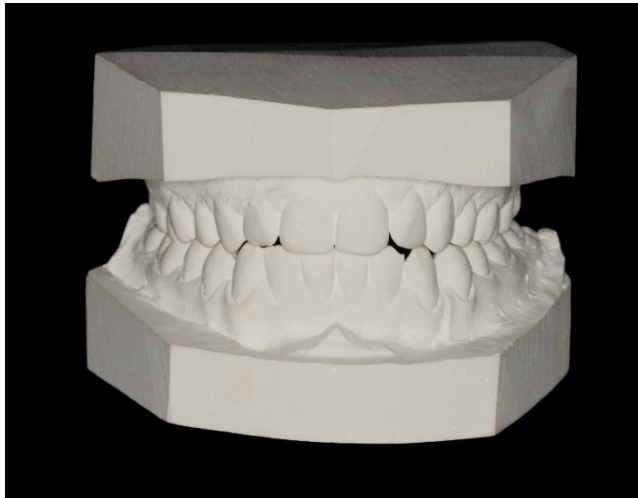
**Imagen 26:** Radiografía lateral del cráneo. Análisis cefalométrico de Ricketts.

		PARÁMETRO	NORMA	C.B.	VALOR	INTERPRETACIÓN
ANÁLISIS ESQUELÉTICO	Mandíbula	Profundidad facial	$87^{\circ} \pm 3^{\circ}$	$88,6^{\circ} \pm 3$	$86,33^{\circ}$	Mesognático
	Maxilar	Convexidad facial	$2 \pm 2$ mm	$1^{\circ} \pm 2^{\circ}$	-0,79mm	Clase I esquelética
	Dirección crecimiento	Eje facial	$90^{\circ} \pm 3^{\circ}$	Cte	$92,25^{\circ}$	Mesofacial
		Ángulo del plano mandibular	$26^{\circ} \pm 4^{\circ}$	$24,5^{\circ} \pm 4^{\circ}$	$66^{\circ}$	Mordida Abierta
		Altura facial inferior	$47 \pm 4$	Cte	$43,22^{\circ}$	Mesofacial
		Arco mandibular	$26 \pm 4$	$28,5^{\circ} \pm 4^{\circ}$	$29^{\circ}$	Mesofacial
ANÁLISIS DENTARIO	Incisivos	Posición incisivo inferior	$1 \pm 2$ mm	Cte	1,58 mm	Incisivo inferior normoposicionado
		Inclinación incisivo Inferior	$22^{\circ} \pm 4^{\circ}$	Cte	$18,4^{\circ}$	Incisivo inferior normoinclinado
	Molares	Posición del molar superior	Edad +3 mm	18 mm	22,69 mm	Molar superior Distalizado. Clase III molar.
ANÁLISIS ESTÉTICO	Labio inferior	Posición labio inferior	$-2 \pm 2$ mm	$-4,5 \pm 2$	-4,51mm	Posición normal del labio inferior

**Tabla 2:** Tabla de resultados Cefalometría Ricketts.



## D. MODELOS DE ESTUDIO (IMÁGENES 27- 36)



**Imagen 27:** Fotografía de los modelos de estudio en oclusión vista frontal. Se observa Mordida abierta anterior.



**Imagen 28:** Fotografía de los modelos de estudio en oclusión vista lateral derecha. Se observa Mordida abierta anterior, clase I canina y clase II molar.



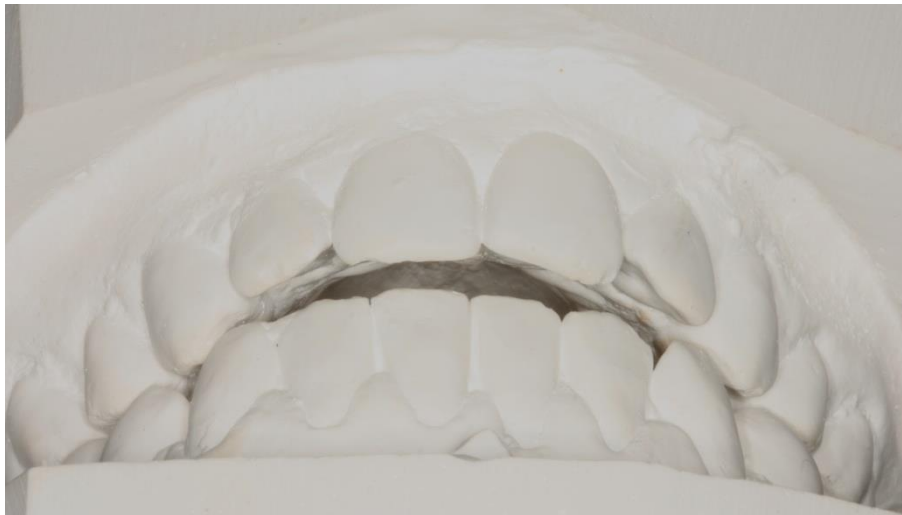
**Imagen 29:** Fotografía de los modelos de estudio en oclusión vista lateral izquierda. Se observa Mordida abierta anterior, clase III canina y clase II molar.



**Imagen 30:** Fotografía de los modelos de estudio en oclusión para observar el resalte vista lateral derecha.

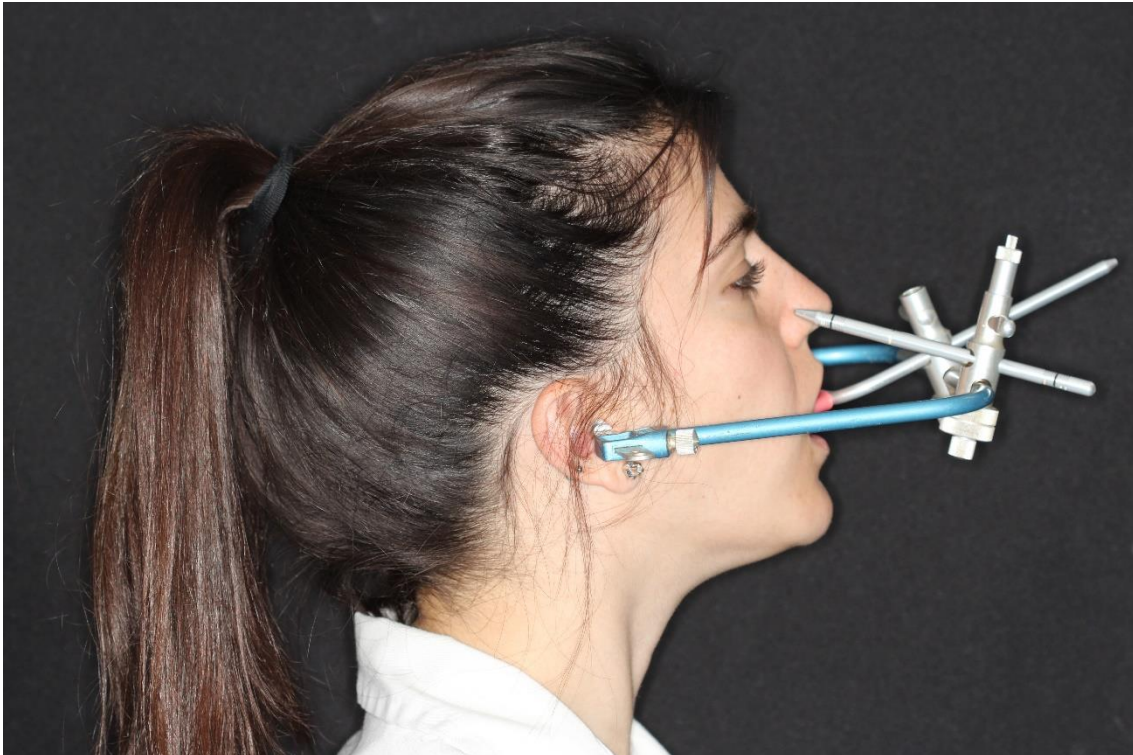


**Imagen 31:** Fotografía de los modelos de estudio en oclusión para observar el resalte vista lateral izquierda.

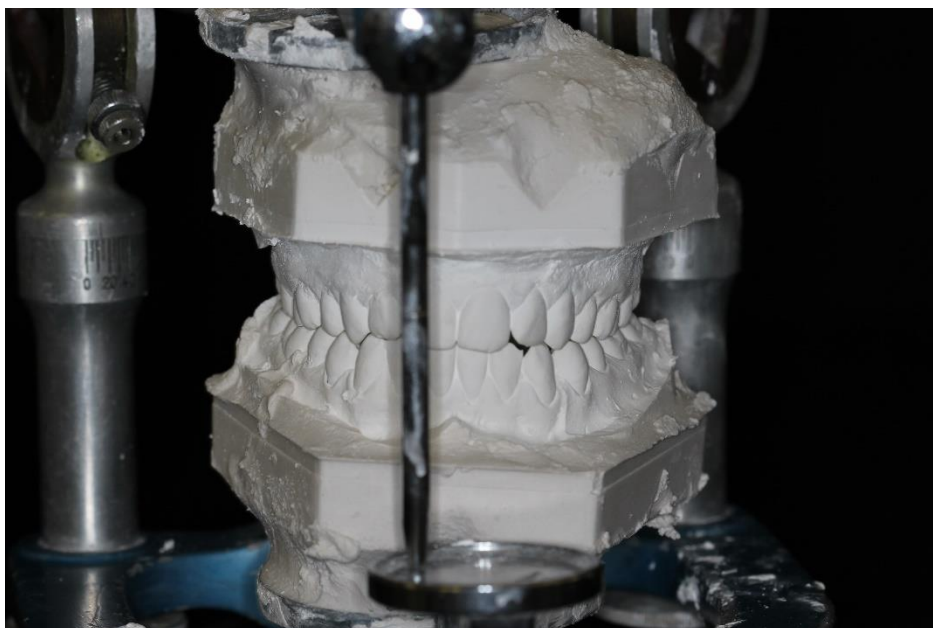


**Imagen 32:** Fotografía de los modelos de estudio vista superior para el resalte. Se observa Mordida abierta anterior.

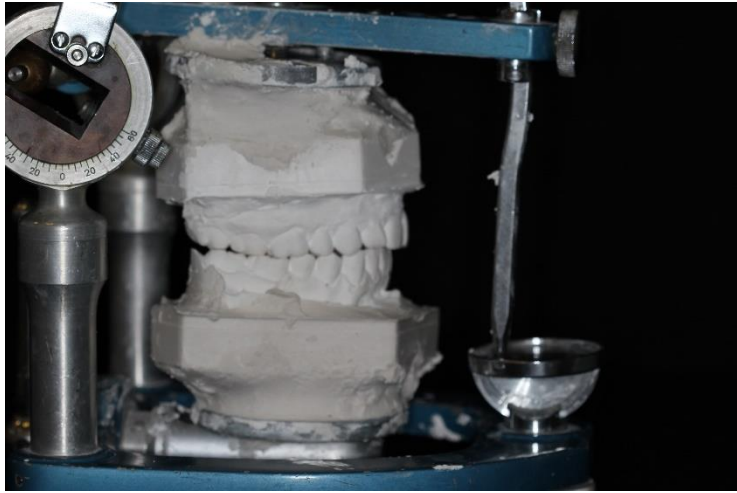
## E. MONTAJE EN ARTICULADOR (IMÁGENES 33-36)



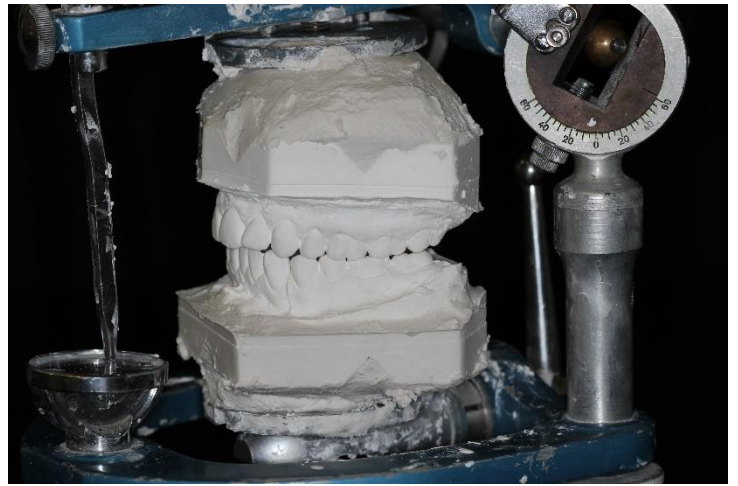
**Imagen 33:** Fotografía extraoral. Toma del arco facial.



**Imagen 34:** Fotografía montaje en articulador vista de frente.



**Imagen 35:** Fotografía montaje en articulador vista lateral izquierda.



**Imagen 36:** Fotografía montaje en articulador vista lateral izquierda.